

и по величине экспоненциального сомножителя. Следовательно, параметром, характеризующим неравновесную ионизацию, будет

$$\bar{n} \sim I_0 = A(B-F)(1/\eta^{1.5}-1), \quad (3)$$

где  $\bar{n}$  — безразмерная экспериментальная величина, пропорциональная концентрации активных центров. На рис. 4 представлена зависимость температуры самовоспламенения от безразмерной концентрации активных центров  $\bar{n}$ . Видно, что температура самовоспламенения независимо от расстояния, скорости потока, температуры на входе обобщается одним параметром  $\bar{n}$ , который, по-видимому, и определяет воспламенение.

Поступила в редакцию  
27/XI 1978

#### ЛИТЕРАТУРА

1. Ю. М. Трушин. III Всесоюзное совещание по теории горения. Т. 1. М., Изд-во АН СССР, 1960.
2. Н. А. Панова, В. Н. Груздев, А. В. Талантов. — В сб.: Горение в потоке. Вып. 1. Казань, 1976.
3. В. Н. Груздев, М. Д. Тавгер, А. В. Талантов. Семинар по электрофизике горения. Тез. докл. Караганда, 1978.
4. Калькот. Вопросы ракетной техники, 1958, 4 (45).
5. Л. А. Гуссак, Е. С. Семенов. — В сб.: Горение и взрывы. М., «Наука», 1977.
6. В. Н. Кондратьев, Е. Е. Никитина. Кинетика и механизм газофазных реакций. М., «Наука», 1974.

## ОБ УСИЛЕНИИ И МОЩНОСТИ ГДЛ НА СМЕСИ $\text{CO}_2-\text{N}_2-\text{CO}-\text{H}_2\text{O}-\text{H}_2$

Г. И. Козлов, В. Н. Иванов, И. К. Селезнева

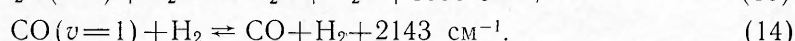
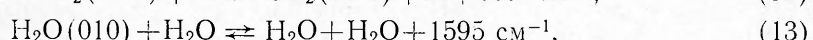
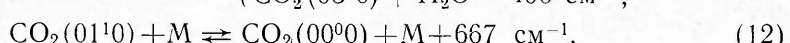
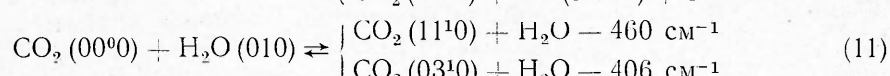
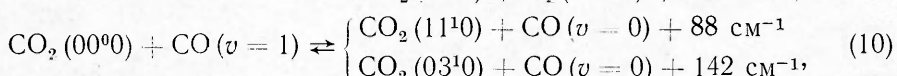
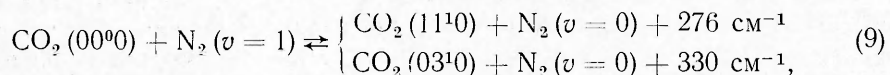
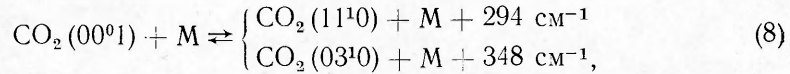
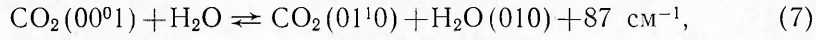
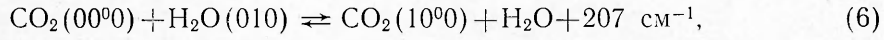
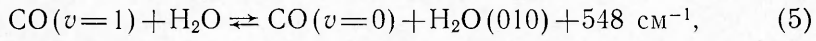
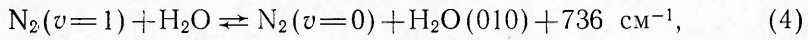
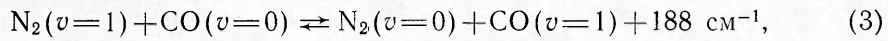
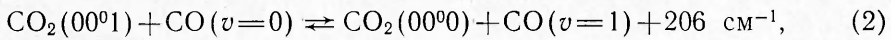
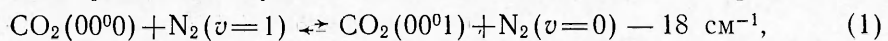
(Москва)

За последнее десятилетие во многих теоретических и экспериментальных работах изучались механизм и кинетика образования инверсной заселенности колебательных уровней молекулы  $\text{CO}_2$  в расширяющихся потоках газа. Для рабочих смесей газодинамических лазеров на смесях  $\text{CO}_2-\text{N}_2-\text{He}$  и  $\text{CO}_2-\text{N}_2-\text{H}_2\text{O}$  проведены подробные исследования зависимостей показателя усиления и мощности генерации от параметров торможения, состава смеси, характерных размеров и формы сопла. Выяснена специфическая роль молекул  $\text{CO}_2$ ,  $\text{N}_2$ ,  $\text{He}$  и  $\text{H}_2\text{O}$  в процессе колебательной релаксации и возникновении инверсной заселенности колебательных уровней  $\text{CO}_2$ . В меньшей степени известна роль других примесей, таких, как  $\text{H}_2$ ,  $\text{CO}$  и т. д., изучение влияния которых представляет практический интерес в связи с широким использованием в качестве рабочей среды ГДЛ продуктов сгорания углеводородных топлив.

Настоящая работа посвящена теоретическому исследованию релаксации пятикомпонентной смеси  $\text{CO}_2-\text{N}_2-\text{CO}-\text{H}_2\text{O}-\text{H}_2$  в расширяющихся потоках без учета возможного изменения состава в результате диссоциации и химических реакций. Проведена оптимизация показателя усиления и мощности ГДЛ по составу смеси, начальным условиям торможения, параметрам сопла и резонатора.

1. В области температур  $T \leq 2000$  К, которая и представляет интерес при рассмотрении характеристик газодинамических лазеров на продуктах сгорания, заметно возбуждены лишь нижние колебательные уровни молекул  $\text{CO}_2$ ,  $\text{N}_2$ ,  $\text{CO}$  и деформационные колебания  $\text{H}_2\text{O}$ . Возбуждением других типов колебаний  $\text{H}_2\text{O}$  и  $\text{H}_2$  можно пренебречь в силу

больших величин колебательных квантов. В рассматриваемых условиях наиболее вероятны следующие каналы столкновительной релаксации



Здесь  $M$  — любая из частиц  $\text{CO}_2$ ,  $\text{N}_2$ ,  $\text{CO}$ ,  $\text{H}_2\text{O}$ ,  $\text{H}_2$ .

Основные сведения о вероятностях процессов (1)–(14) содержатся в работах [1–9]. Большинство из вероятностей рассматриваемых процессов в настоящее время хорошо изучены как теоретически, так и экспериментально. Исключение составляют только некоторые реакции (например, (5), (8), (12)), которые следует анализировать более тщательно при расчетах.

Для реакций обмена колебательными квантами между молекулами  $\text{CO}$  и  $\text{H}_2\text{O}$  экспериментальных данных нет. В работе предполагается, что константы скоростей реакций (4) и (5) совпадают. Затруднения вызывает и выбор константы скорости реакции (8) для  $M = \text{H}_2\text{O}$ . В смесях с большим содержанием паров воды эта константа оказывает решающее влияние на результаты, определяя заселенность верхнего лазерного уровня молекулы  $\text{CO}_2$ . Имеющиеся экспериментальные исследования относятся преимущественно к диапазону температур  $T \leq 1000 \text{ K}$ . В представляемых расчетах использовалась аппроксимация, приведенная в [2].

Переход колебательной энергии в поступательную осуществляется за счет процессов (12)–(14). Скорости этих процессов в основном изучены хорошо. Исключение составляет реакция (12) с  $M = \text{H}_2\text{O}$ . Результаты измерений константы скорости в столкновениях с парами воды относятся к узкому интервалу температур и противоречивы. Не представляется возможным надежно установить даже характер температурной зависимости. Однако из-за высокой скорости дезактивации деформационных колебаний молекулы  $\text{CO}_2$  в столкновениях с  $\text{H}_2\text{O}$  температура  $T_2$  ( $v_2$ -колебаний) близка к поступательной; поэтому выбор константы не оказывает существенного влияния на релаксационный процесс в смесях с большим содержанием паров  $\text{H}_2\text{O}$ .

Реакция (14) исследовалась экспериментально в работах [7–9], где установлено, что она протекает с достаточно большой скоростью,

и поэтому такой канал релаксации должен быть учтен. Высокая скорость процесса (14) объясняется колебательно-вращательным обменом с последующей быстрой релаксацией вращательной энергии  $H_2$ . Существующие экспериментальные сведения о дезактивации колебательных уровней азота в столкновениях с водородом [1] показывают, что аналогичной реакцией дезактивации азота можно пренебречь.

2. Интегрирование системы уравнений газовой динамики совместно с уравнениями релаксации колебательной энергии каждой моды проводилось численно по неявной схеме. Расчеты выполнены для течения в плоских логарифмических соплах [10], обеспечивающих быстрое начальное расширение и, следовательно, эффективное замораживание колебательных температур асимметричного типа колебаний  $CO_2$  ( $v_3$ -моды), колебаний  $N_2$  ( $v_4$ -моды) и  $CO$  ( $v_5$ -моды). Сопла с профилем такого типа предпочтительны для смесей с большим содержанием паров  $H_2O$ , какими являются продукты сгорания углеводородов. Высокая концентрация  $H_2O$  (и  $H_2$ ) обеспечивает быструю релаксацию нижнего лазерного уровня, в то время как резкое расширение дает возможность сохранить достаточную для образования инверсии заселенность верхнего лазерного уровня.

Численные расчеты для смеси  $CO_2—N_2—CO—H_2O—H_2$  проводились в широком диапазоне изменения параметров торможения и концентраций различных компонентов. На рис. 1, *a*—*в* приведены распределения показателя усиления  $K_v(x)$  по длине при расширении смеси 10%  $CO_2$ —60%  $N_2$ —20%  $CO$ —5%  $H_2O$ —5%  $H_2$  в сопле с высотой критического сечения  $r_0=0,02$  см и степенью расширения  $A/A_* = 50$ . Кривые 1—8 отвечают расчетам с различными значениями температуры торможения:  $T_0 = 3000, 2800, 2600, 2400, 2200, 2000, 1800, 1600$  К. Оптимальные параметры торможения составляют:  $T_0 \sim 2000$  К,  $\mu_0 \sim 20$  атм.

Расчеты для других составов в пределах изменения относительных концентраций компонентов  $0,02 \leq \alpha^{(1)} \leq 0,1$ ,  $0,5 \leq \alpha^{(2)} + \alpha^{(3)} \leq 0,8$ ,  $0,02 \leq \alpha^{(4)} \leq 0,15$ ,  $0,01 \leq \alpha^{(5)} \leq 0,15$  (величины  $\alpha^{(j)}$  при  $j=1 \div 5$  обозначают относительные концентрации молекул  $CO_2$ ,  $N_2$ ,  $CO$ ,  $H_2O$ ,  $H_2$  соответственно) показывают, что оптимальная температура слабо зависит от состава смеси и от давления торможения. Оптимум по температуре меняется с условиями расширения. Зависимость оптимальной температуры от степени расширения для плоского логарифмического сопла приведена на рис. 2.

Оптимальное давление торможения зависит в сильной степени не только от характеристик сопла, но и от концентраций компонентов смеси, определяющих основные скорости релаксации. На рис. 3, 1, 2 показана зависимость оптимального давления торможения от высоты критического сечения сопла для смесей 10%  $CO_2$ —63%  $N_2$ —20%  $CO$ —2%  $H_2O$ —5%  $H_2$  и 10%  $CO_2$ —50%  $N_2$ —20%  $CO$ —10%  $H_2O$ —10%  $H_2$  соответственно. Повышение концентрации паров  $H_2O$  и  $H_2$  оказывает су-

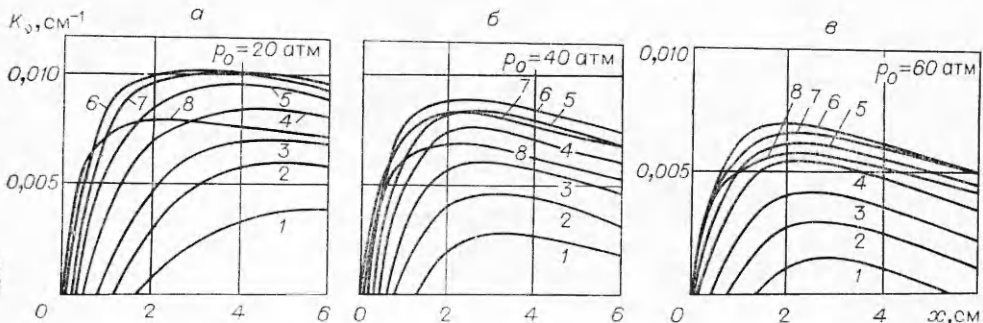


Рис. 1.

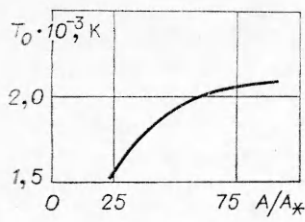


Рис. 2.

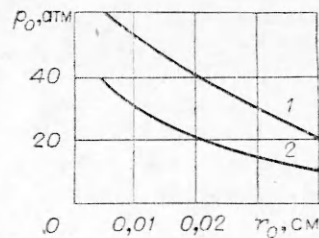


Рис. 3.

щественное влияние на величину оптимального давления торможения.

Остановимся на вопросе о влиянии концентрации различных компонентов на величину усиления в ГДЛ. В настоящее время хорошо установлена роль таких примесей, как  $\text{H}_2\text{O}$  и  $\text{N}_2$ . Пары воды эффективно дезактивируют нижний лазерный уровень, поддерживая температуру деформационных колебаний ( $v_2$ -моды), близкой к поступательной. Скорость релаксации верхнего лазерного уровня в столкновениях с  $\text{H}_2\text{O}$  также велика. Это накладывает ограничения на допустимые концентрации паров воды в лазерных смесях. Молекулы  $\text{N}_2$  являются резервуаром колебательной энергии, так как при температурах ниже  $\sim 1000$  К обмен квантами  $v_4 \rightarrow v_3$  становится единственным каналом релаксации колебательной энергии, запасенной в азоте. Оптимальное содержание  $\text{N}_2$  в смеси обычно превышает 50% и возрастает с увеличением давления. Молекула  $\text{CO}$ , обладая близким по величине квантам с  $v_3$ - и  $v_4$ -типами колебаний, ведет себя в таких смесях аналогично азоту [5] — при температурах ниже  $\sim 1000$  К колебательная энергия, запасенная в  $\text{CO}$ , релаксирует к равновесному значению путем передачи энергии в  $v_4$ - и  $v_3$ -моды с последующим переходом в деформационную моду  $\text{CO}_2$ .

Концентрации  $\text{CO}_2$ ,  $\text{H}_2\text{O}$  и  $\text{H}_2$  в оптимальных смесях невелики. Представляет интерес определить наиболее благоприятные соотношения между концентрациями этих компонентов в лазерных смесях и зависимость показателя усиления от этих концентраций. На рис. 4, а, б приведены результаты расчетов показателя усиления смеси  $\text{CO}_2-\text{N}_2-\text{CO}-\text{H}_2\text{O}-\text{H}_2$ , расширяющейся в сопле с  $r_0=0,02$  см и  $A/A^*=50$ . Относительные концентрации  $\text{N}_2$  и  $\text{CO}$  постоянны и равны соответственно  $\alpha^{(2)}=0,6$  и  $\alpha^{(3)}=0,2$ . Относительные концентрации  $\text{CO}_2$ ,  $\text{H}_2\text{O}$  и  $\text{H}_2$  варьировались в пределах  $\alpha^{(1)}+\alpha^{(4)}+\alpha^{(5)}=0,2$ . Кривые на рис. 4 соответствуют постоянным значениям показателя усиления (в единицах  $10^{-2} \text{ см}^{-1}$ ), взятым при оптимальной температуре торможения потока в максимуме распределения  $K_v(x)$ .

Из рассмотрения рис. 4 следует, что оптимальный по  $T_0$  и  $x$  показатель усиления увеличивается с уменьшением концентрации  $\text{H}_2\text{O}$ , до-

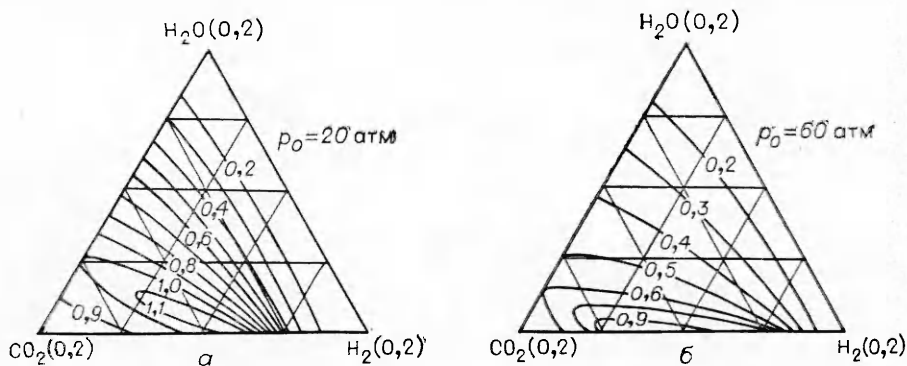


Рис. 4.

стигая максимальных значений при относительных концентрациях паров воды  $\alpha^{(4)} \lesssim 0,05$  и концентрациях водорода  $\alpha^{(5)} \lesssim 0,15$ . Характер зависимости показателя усиления от концентрации  $H_2O$  и  $H_2$  различный — наличие водорода в пределах  $0,025 \lesssim \alpha^{(5)} \lesssim 0,175$  обеспечивает даже в отсутствие паров воды практически полную релаксацию деформационных колебаний  $CO_2$  и значительное усиление в системе.

Влияние концентрации  $H_2O$  на показатель усиления более сильное, область оптимальных концентраций паров воды, при которых наблюдается большое усиление, значительно уже и резко уменьшается с ростом давления торможения потока. Зависимость показателя усиления потока от концентрации молекул  $CO_2$  практически линейная при небольших концентрациях: при  $p_0 \leq 30$  атм  $\alpha^{(1)} \lesssim 0,1$ ; с повышением давления область линейной зависимости от  $\alpha^{(1)}$  уменьшается.

Таким образом, анализ условий расширения пятикомпонентной смеси в логарифмическом сопле показывает, что в процессе релаксации могут быть достигнуты величины показателя усиления  $\sim 10^{-2}$  см<sup>-1</sup> при давлениях торможения смеси порядка нескольких десятков атмосфер,  $T_0 \sim 2000$  К и концентрациях компонентов, заключенных в следующих пределах:  $0,05 \lesssim \alpha^{(1)} \lesssim 0,15$ ,  $\alpha^{(1)} + \alpha^{(2)} \sim 0,8$ ,  $\alpha^{(4)} \lesssim 0,05$ ,  $0,05 \lesssim \alpha^{(5)} \lesssim 0,15$ .

3. Большой интерес представляет оценка мощности генерации, исследование зависимости мощности от параметров потока и резонатора, определение оптимальных условий работы ГДЛ. Анализ характеристик ГДЛ на  $CO_2$  [11—17], проведенный в приближении геометрической оптики для плоскопараллельных резонаторов, показывает, что в обычных условиях генерации справедливо предположение о постоянстве поступательной температуры вдоль потока в резонаторе. Поступательная температура смеси, входящей в резонатор, как правило, составляет величину  $\sim 300$ —400 К. При таких температурах, как следует из анализа скоростей элементарных процессов (1) — (14), определяющими релаксацию становятся реакции (1) — (3), (6), (8), (12) и (13). При давлениях торможения  $p_0 \geq 10$  атм и концентрациях  $H_2O$  и  $H_2$ , превышающих 1—2%, характерная длина релаксации деформационных колебаний молекул  $CO_2$  и  $H_2O$  составляет  $\leq 1$  см. Обычно длина резонатора существенно превышает это значение, поэтому можно считать колебания  $v_2$  и  $v_6$ -мод находящимися в равновесии с поступательной температурой газа. Таким образом, в рассматриваемых условиях столкновительная релаксация колебательной энергии в резонаторе определяется реакциями одноквантового колебательного обмена (1) — (3) и реакциями дезактивации асимметричных колебаний  $CO_2$  (8) в столкновениях с  $H_2O$  и  $H_2$ .

Предполагая все  $\varepsilon_i \ll 1$  ( $\varepsilon_i$  — среднее число колебательных квантов  $i$ -й колебательной степени свободы, отнесенные к одной молекуле  $CO_2$ ) в резонаторе и объединяя колебания  $v_4$ - и  $v_5$ -мод в один резервуар ( $\varepsilon_4 \approx \varepsilon_5$ ), получим для описания релаксации в резонаторе систему линейных уравнений

$$\begin{aligned} \frac{d\varepsilon_3}{dx} = & \frac{N}{u} \left[ - (K_{3,\Sigma}^{(4)} \alpha^{(4)} + K_{3,\Sigma}^{(5)} \alpha^{(5)}) (\varepsilon_3 - \bar{\varepsilon}_3) + \right. \\ & \left. + K_{4,3} (\alpha^{(2)} + \alpha^{(3)}) (\varepsilon_4 - \varepsilon_3) \right] - \frac{K_v I}{N u \alpha^{(1)} n v}, \end{aligned} \quad (15)$$

$$\frac{d\varepsilon_4}{dx} = - \frac{N}{u} K_{4,3} \alpha^{(1)} (\varepsilon_4 - \varepsilon_3). \quad (16)$$

Здесь  $N$  — число частиц в 1 см<sup>3</sup>;  $u$  — скорость потока;  $I$  — интенсивность излучения внутри резонатора;  $K_{4,3}$  — константа скорости обмена квантами между  $v_4$ - и  $v_3$ -типами колебаний;  $K_{3,\Sigma}^{(4)}$  и  $K_{3,\Sigma}^{(5)}$  — константы скоростей реакции (8) в столкновениях с  $H_2O$  и  $H_2$  соответственно.

Следуя [16], предположим, что распределение интенсивности внутри резонатора заранее задано, и для простоты будем считать, что  $I = \text{const.}$

Приравнивая полное усиление и полные потери излучения, получим условие стационарной генерации

$$2 \frac{L}{W} \int_0^W K_v dx = \ln(1/r), \quad (17)$$

где  $r$  — эффективный коэффициент отражения зеркал резонатора;  $L$  — длина резонатора вдоль распространения излучения;  $W$  — размер резонатора вдоль потока газовой смеси.

Подставляя решение системы (15) и (16) в условие стационарной генерации (17), получим уравнение для определения интенсивности излучения в резонаторе

$$\begin{aligned} \frac{1-r}{2} \frac{W}{LK_{v0}} &= \frac{(\alpha^{(2)} + \alpha^{(3)})}{\alpha^{(1)} b} \left\{ 1 - \exp \left[ \frac{\alpha^{(1)}}{(\alpha^{(2)} + \alpha^{(3)})} \frac{bt}{(b+t) W} \right] \right\} + \\ &+ \frac{b}{(b+t)^2} \{ 1 - \exp -(b+t) W \}. \end{aligned} \quad (18)$$

Здесь

$$t = \frac{N}{u} K_{4,3} (\alpha^{(2)} + \alpha^{(3)}); \quad b = \frac{N}{u} (K_{3,\Sigma}^{(4)} \alpha^{(4)} + K_{3,\Sigma}^{(5)} \alpha^{(5)}) + \frac{K_{v0} I}{Nu \alpha^{(1)} h v \varepsilon_{30}};$$

индексами 0 отмечены значения величин на входе в резонатор.

Мощность  $P$  излучения, выходящего из резонатора с коэффициентом потерь на зеркалах  $a$ , определяется выражением

$$P = WHI \cdot (1 - r - a)/2, \quad (19)$$

где  $H$  — размер резонатора в направлении, перпендикулярном распространению излучения и направлению движения газовой смеси. Анализ выражений (18) и (19) показывает, что  $P$  увеличивается с ростом  $L$ ,  $\varepsilon_{30}$  и  $u$ . Зависимости мощности от длины резонатора вдоль потока  $W$  и коэффициента отражения  $r$  имеют максимумы. Оценки показывают, что для условий работы газодинамического лазера с  $L=50$  см оптимальная длина резонатора должна составлять 10—20 см, а коэффициент отражения  $r \sim 0,8—0,9$ .

Типичные зависимости мощности от  $W$  и  $r$  представлены на рис. 5. Данные относятся к смеси состава 10%  $\text{CO}_2$  — 63%  $\text{N}_2$  — 20%  $\text{CO}$  — 5%  $\text{H}_2\text{O}$  — 2%  $\text{H}_2$ , расширяющейся предварительно в сопле с  $r_0=0,02$  см до  $A/A_* = 50$ ; начальные параметры торможения:  $p_0 = 20$  атм,  $T_0 = 2000$  К; резонатор с  $L = 50$  см и  $H = 10$  см располагался на расстоянии 5 см от критического сечения сопла.

Как следует из (18), при малых  $W$  интенсивность излучения практически не зависит от  $W$ , а мощность, снимаемая со всего объема резонатора, пропорциональна  $W$  (см. рис. 5, 1). С ростом  $W$  мощность достигает своей максимальной величины при  $W \sim 10—20$  см. Дальнейшее падение в рамках модели резонатора с постоянной интенсивностью обусловлено возрастанием роли колебательной энергии в резонаторе за счет столкновительной дезактивации верхнего лазерного уровня. Следует ожидать, что оптимальные размеры  $W$  резонатора будут увеличиваться с ростом  $L$ ,  $\varepsilon_{30}$  и  $u$  и уменьшаться с увеличением  $\alpha^{(4)}$  и  $\alpha^{(5)}$ .

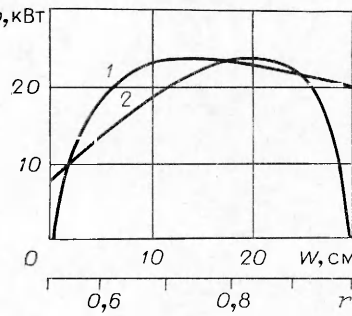


Рис. 5.

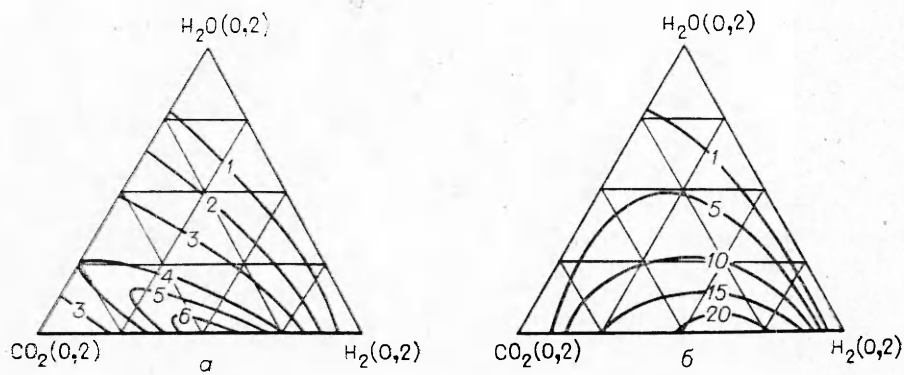


Рис. 6.

Зависимость мощности от коэффициента отражения зеркал представлена на рис. 5, 2. Положение резкого спада мощности при  $r \rightarrow 1-a$  определяется величиной потерь  $a$ . В данном случае принято  $a=0,01$ . Оптимальные значения коэффициента отражения так же, как и оптимальные значения  $W$ , зависят от параметров резонатора и потока. Из анализа выражения (18) нетрудно получить, что оптимальный коэффициент отражения уменьшается с ростом  $K_{v0}$ ,  $L$ ,  $u$  и увеличивается с уменьшением потерь  $a$ .

Представляет интерес зависимость мощности выходящего излучения от состава смеси. На рис. 6 приведены результаты расчетов мощности для резонатора с  $L=50$  см,  $W=10$  см,  $H=10$  см,  $r=0,9$ , и  $a=0,01$ , расположенного на расстоянии 5 см от критического сечения сопла. Кривыми обозначены уровни постоянного значения мощности, снимаемой с  $1 \text{ см}^3$  (в единицах  $\text{Вт}/\text{см}^3$ ). Данные на рис. 6, а соответствуют генерации в смесях с  $p_0=20$  атм,  $\alpha^{(2)}=0,6$ ,  $\alpha^{(3)}=0,2$ ,  $\alpha^{(1)}+\alpha^{(4)}+\alpha^{(5)}=0,2$ , показатели усиления для которых представлены на рис. 4, а. На рис. 6, б приведены аналогичные зависимости от концентраций  $\alpha^{(1)}$ ,  $\alpha^{(4)}$ ,  $\alpha^{(5)}$  удельной мощности для потоков с  $p_0=60$  атм, картина усиления для которых представлена на рис. 4, б. Видно, что области оптимальных составов смеси для получения наибольших значений показателя усиления и удельной мощности различаются, причем разница возрастает с увеличением давления. Расчеты показывают, что в области существования генерации удельная мощность слабо зависит от температуры торможения смеси при  $T_0 \sim 2000$  К, причем для показателя усиления и для мощности оптимум по  $T_0$ , как правило, почти совпадает. По давлению торможения оптимальные области могут резко различаться, при этом различия в сильной степени зависят от состава смеси. Максимальные мощности, получаемые в рассматриваемых условиях, достигаются в смесях с  $p_0 \approx 50$  атм при концентрациях компонентов, лежащих в пределах  $0,05 \leq \alpha^{(1)} \leq 0,1$ ,  $\alpha^{(2)}+\alpha^{(3)} \geq 0,8$ ,  $\alpha^{(4)} \leq 0,02$ ,  $0,05 \leq \alpha^{(5)} \leq 0,1$ , и составляют  $\sim 20 \text{ Вт}/\text{см}^3$ .

Поступила в редакцию  
27/IX 1978

#### ЛИТЕРАТУРА

1. R. L. Taylor, S. Bitterman. Rev. Mod. Phys., 1969, **41**, 26.
2. Б. Ф. Гордиц, А. И. Осипов и др. УФН, 1972, **108**, 4, 655.
3. С. А. Лосев. ФГВ, 1976, **12**, 2, 163.
4. А. С. Бирюков, Ю. А. Кулагин, Л. А. Шелепина. Препринт ФИАН, № 105. М., 1975.

5. А. С. Дьяков, А. К. Пискунов, Е. И. Черкасов. Квантовая электроника, 1975, 2, 7, 1419.
  6. J. A. Blaueg, G. R. Nikerson. AIAA Paper, № 76-536.
  7. D. J. Miller, R. C. Millikan. J. Chem. Phys., 1970, 53, 8, 3384.
  8. W. H. Green, J. K. Hancock. J. Chem. Phys., 1973, 59, 8, 4326.
  9. D. F. Stagg, J. K. Hancock, W. H. Green. J. Chem. Phys., 1974, 61, 12, 5421.
  10. Г. И. Козлов, В. Н. Иванов и др. ЖЭТФ, 1975, 68, 5, 1647.
  11. Н. А. Генералов, Г. И. Козлов, И. К. Селезнева. ПМТФ, 1972, 5, 23,
  12. А. И. Ананькин. Квантовая электроника, 1975, 2, 1, 148.
  13. С. А. Лосев, В. Н. Макаров. Квантовая электроника, 1976, 3, 5, 960.
  14. Брунне, Милевский и др. РТК, 1976, 14, 3, 77.
  15. T. A. Cool. J. Appl. Phys., 1969, 40, 9, 3563.
  16. А. А. Веденов, А. П. Напартич. Теплофизика высоких температур. 1974, 12, 5, 952.
  17. В. П. Пименов, Н. Б. Родионов, В. А. Щеглов. Квантовая электроника, 1977, 4, 2, 355.
- 

## МЕХАНИЧЕСКАЯ ЧУВСТВИТЕЛЬНОСТЬ ПАСТООБРАЗНЫХ ВЗРЫВЧАТЫХ МАТЕРИАЛОВ.

### I. ЗАРЯДЫ СО СПЛОШНОЙ СТРУКТУРОЙ

*A. В. Дубовик, В. Л. Боднева, А. А. Денисаев*

*(Москва)*

По типу механического поведения некоторые взрывчатые вещества и пороха относятся к неньютоновским жидкостям, характерная особенность которых состоит в наличии малого по величине предела прочности (текучести) и нелинейной зависимости между девиатором напряжений  $s_{ij}$  и тензором скоростей деформации сдвига  $\xi_{ij}$ . Часто указанную связь представляют в виде степенного закона [1]

$$s_{ij} = 2m |2\xi_{kl}\xi_{lk}|^{(n-1)/2} \xi_{ij}, \quad (1)$$

где  $m$  — показатель консистенции жидкости;  $n$  — индекс неньютоновского поведения. В частном случае при  $n=1$  из (1) получается ньютоновское реологическое уравнение для жидкого вещества.

Жидкость с псевдопластическим поведением, кажущаяся вязкость которой  $\mu_a = m |2\xi_{kl}\xi_{lk}|^{(n-1)/2}$  убывает с ростом скорости сдвига, соответствует  $n < 1$ . При  $n > 1$  рассматриваемая модель описывает механическое поведение дилатантных жидкостей.

Вискозиметрическими исследованиями установлено, что большинству ПВМ — пастообразным взрывчатым материалам (пластичные взрывчатые составы, неотверженные топливные массы, пастообразные смесевые топлива и др.) — присущ псевдопластический тип течения с показателем  $n \approx 0,4 \div 0,6$ . Ниже приведены экспериментальные данные для кажущейся вязкости модельного пастообразного топлива на основе перхлората аммония (80%), алюминия (5%) и связки в виде бутил-каучука, пластифицированного трансформаторным маслом (состав ПТ-М), полученные при 20°C.

$\xi, \text{ c}^{-1}$	0,001	0,03	0,1	0,3	1,0	3	10
$\mu_a, 10^4 \text{ Пз}$	8,4	5,5	3,25	2,0	1,1	0,65	0,37

Зависимость  $\mu_a(\xi)$  аппроксимируется степенной функцией вида

$$\mu_a = m |\xi|^{n-1}$$

с показателем  $n=0,55$  и множителем  $m=10\,600 \text{ Пз} \cdot \text{c}^{-0,45}$ . Величина  $n$